УДК 669.15′71-194.55:548.735

ТЕХНИЧЕСКАЯ ФИЗИКА

## л. и. лысак, а. г. драчинская, н. а. сторчак

## ВЫДЕЛЕНИЕ КАРБИДА С Г.Ц.К.-РЕШЕТКОЙ ПРИ РАСПАДЕ «-МАРТЕНСИТА АЛЮМИНИЕВОЙ СТАЛИ

(Представлено академиком Г. В. Курдюмовым 18 IX 1972)

При высоких температурах (в  $\gamma$ -области) происходит атомное упорядочение в г.ц.к.-решетке аустенита сплавов Fe—Al—C и переход атомов углерода в упорядочивающиеся области ( $^{1}$ ,  $^{2}$ ). В результате закалки образуются два мартенсита ( $\alpha_{\rm M}^{\rm I}$  и  $\alpha_{\rm M}^{\rm II}$ ) с о.ц.т.-решетками, закономерности ориентаций которых различны по отношению к решетке аустенита ( $^{3}$ ). В настоящей работе изучали кристаллическую структуру и ориентации решеток карбидных фаз, которые выделяются из аустенита и указанных мар-

тенситов при отпуске с 2,0% С и 3% АІ.

На рентгенограмме стали, закаленной в холодной воде, видны дифракционные пятна двух аустенитов с близкими параметрами (3). После отнуска при температурах ниже  $450^\circ$  существенных изменений дифракционной картины пе обнаруживается. Только в результате нагрева в течение часа при  $500^\circ$  пятна аустенита ослабли и размылись. Одновременно появились новые размытые пятна, которые соответствовали K-фазе (1, 2) с г.ц.к.-решеткой ( $a_{\kappa}=3,763$  Å) и  $\alpha$ -фазе с о.ц.к.-решеткой ( $a_{\alpha}=2,872$  Å). Ориентация решетки K-фазы такая же, как и решетки аустенита. Следовательно, в процессе отпуска при  $500^\circ$  в аустените образуется такая же фаза, как и K-фаза (Fe<sub>3</sub>AlC), которая формируется при высоких температурах (в  $\gamma$ -области). Эта аналогия позволяет предположить, что природа возникновения K-фазы в указанных случаях одна и та же: атомное упорядочение в г.ц.к.-решетке, приводящее к обогащению углеродом одних областей аустенита за счет обеднения других.

Повышение температуры отпуска до  $550^{\circ}$  способствовало ослаблению дифракционных пятен аустенита и размытию пятен K- и  $\alpha$ -фаз вдоль дебаевских дуг. Дальнейшее повышение температуры до  $700^{\circ}$  привело не только к исчезновению пятен аустенита и размытию рефлексов K-фазы, но

также к усилению отражений от сефазы.

Другая серия опытов была проведена на образцах того же сплава. Однако теперь для изучения карбидообразования при распаде мартенсита образцы из аустенитного состояния охлаждали в жидком азоте от комнатной температуры, чтобы реализовалось мартенситное превращение. В этом случае на рентгенограммах (полученных при комнатной температуре) наблюдается система дифракционных пятен аустенита и мартенситов  $\alpha_{\rm M}^{\ \ I}$ .

После отпуска таких образцов при температуре  $250-300^{\circ}$  появились рефлексы г.д.к.-решетки с параметром, близким к таковому *К*-фазы. Они усиливались и достигали наибольшей интенсивности при нагреве до

 $350-450^{\circ}$ .

В результате нагрева до 500° увеличилась интенсивность тех пятен карбида, которые отвечали полюсам аустенита; при этом пятна последнего размылись и стали менее интенсивными (рис. 1). При повышении температуры до 700° произошли такие же изменения дифракционной картины, которые описапы при нагреве аустенитного образца до этой температуры.

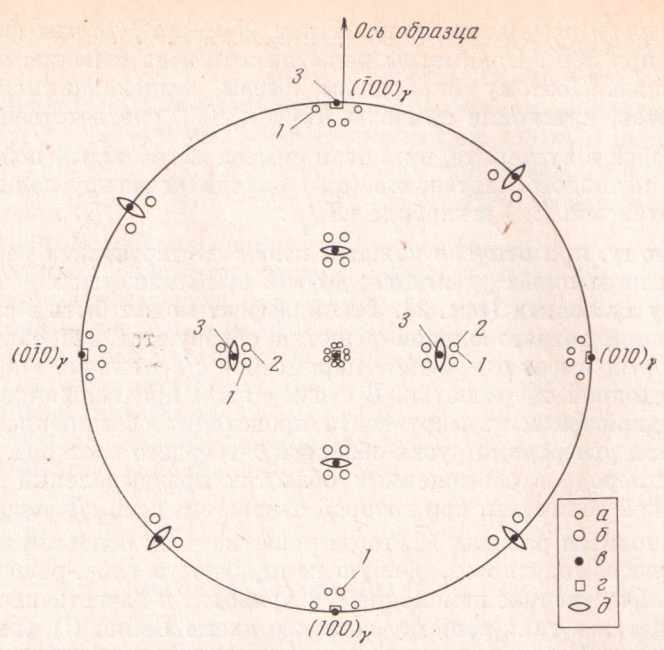


Рис. 1. Полюсная фигура карбидов, выделившихся после нагрева до 500° закаленного железного сплава с 2,0% С и 3,0% Аl. a,  $\underline{\delta}$  — полюсы (002) и (200), (020) соответственно о.п.т.-решетки с  $c/a=\sqrt{2}$  или то же {200} и {220} г.ц.к.-решетки карбида  $K_{\alpha_{\rm M}}^{\rm I}$ ; I, Z — элементарные ячейки о.ц.т.-решетки  $K_{\alpha_{\rm M}}^{\rm I}$  с  $c/a=\sqrt{2}$  или то же {200} и {220} г.ц.к.-решетки карбида  $K_{\alpha_{\rm M}}^{\rm I}$ ; J — элементарная ячейка о.ц.т.-решетки  $K_{\alpha_{\rm M}}^{\rm I}$ ; J — элементарная ячейка о.ц.т.-решетки J00 и J100 и J100 полюсы аустенита

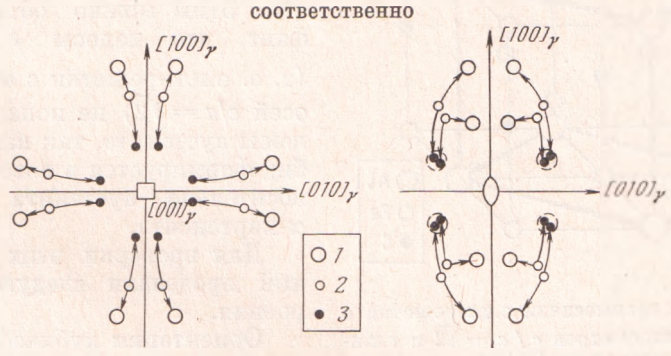


Рис. 2. Фрагменты полюсных фигур исходного  $(\alpha_{\rm M}^{\rm I})$ , отпущенного  $(\kappa^{\rm I})$  мартенситов и карбида  $(K_{\alpha_{\rm M}^{\rm I}})$  после нагрева до 500° закаленного железного сплава с 2,0% С и 3,0% Al. I— полюсы  $\{200\}$   $\alpha^{\rm I}$ -фазы; 2— полюсы  $\{200\}$   $\alpha^{\rm I}$ -мартенсита; 3— полюсы  $\{200\}$  о.ц.т.-решетки  $(c/a=\sqrt{2})$  или (200) и (220) г.ц.к.-решетки карбида  $K_{\alpha_{\rm I}}$ 

Получилась рентгенограмма поликристалла, что не позволило определить

температурные области исчезновения каждого карбида.

Из рис. 1 и 2 видно, что часть полюсов карбидной фазы, выделившейся при 250—300°, располагается аналогично полюсам α<sup>1</sup>-мартенсита, другая часть совпадает с полюсами аустенита. Полюсы карбидной фазы, количество которой увеличилось при 500°, т. е. полюсы К-фазы, тоже совпадают с полюсами аустенита. Эти данные позволили заключить, что при отпуске сплавов Fe—Al—С образуются три г.ц.к.-решетки карбида с большим чем параметр решетки аустенита параметром. Две из них выделяются из α<sup>1</sup>- и

 $\alpha^{\text{II}}$ -мартенситов в результате отпуска при 250—300°, третья формируется в аустените при 500°. Параметры решеток этих фаз близкие, однако ориентации разные. Поэтому карбидным фазам, выделяющимся из  $\alpha^{\text{I}}$ - п  $\alpha^{\text{II}}$ -мартенситов, присвоили символы  $K_{\alpha_{\text{M}}}^{\text{I}}$  и  $K_{\alpha_{\text{M}}}^{\text{II}}$  соответственно, а фазе, формирующейся в аустените, приписан символ  $K_{\gamma}$ . Каждый полюс (002) и (200), (020) исходного мартенсита ( $\alpha_{\text{M}}^{\text{I}}$ ) находится между полюсами отпущенного мартенсита ( $\alpha^{\text{I}}$ ) и карбида ( $K_{\alpha_{\text{M}}}^{\text{I}}$ ).

По-видимому, при отпуске каждый полюс α<sup>1</sup>-мартенсита расщепляется на два, один из которых удаляется, другой приближается к соответствующему полюсу аустенита (рис. 2). Такой эффект может быть в случае, если вместо исходной тетрагональной решетки образуются две о.ц.т.-решетки, одна из которых имеет отношение параметров c/a меньше, а другая больше, чем у исходной α<sub>м</sub><sup>1</sup>-решетки. В связи с этим предположили, что выделение карбидной фазы из мартенсита происходит обогащением одних за счет обеднения углеродом других областей α-твердого раствора. Когда концентрация углерода в обогащенных областях предвыделений (о.о.п.) (4) достигает такой величины, при которой отношение осей c/a тетрагональной решетки становится равным  $\sqrt{2}$ , тогда решетка этих областей приобретает максимальную компактность, равную компактности г.ц.к.-решетки. Следовательно, количественное изменение c/a приводит к качественному переходу о.ц.т.-решетки в г.ц.к-решетку согласно схеме Бейна (5) (рис. 3). При этом полюсы такой о.ц.т.-решетки нопадают в полюсы г.ц.к.-решетки аустенита, если точно выполняются ориентационные соотношения Курдюмова — Закса или Нишияма. Однако в сплаве Fe—Al—С первое из этих соотношений выполняется только при  $\gamma \to \alpha_{\scriptscriptstyle M}$ -переходе, после которого получается

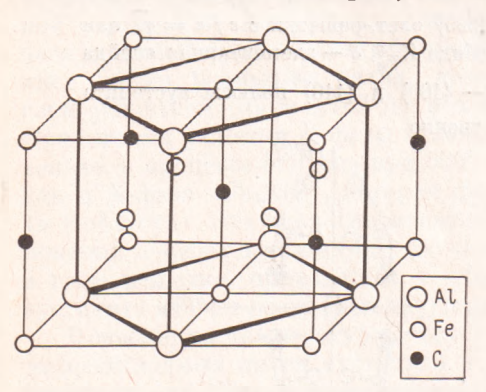


Рис. 3. Схема взаимосвязи о.д.т-решетки с отношением параметров  $c / a = \sqrt{2}$  и г.д.к-решетки по Бейну

небольшой поворот решеток мартенсита вследствие релаксации напряжений. Такие повороты неодинаковы для  $\alpha^{\rm I}$ - и  $\alpha^{\rm II}$ -мартенситов ( $^3$ ). Этим можно объяснить тот факт, что полосы  $K_{\alpha^{\rm I}}$ -карбида (т. е. о.ц.т.-решетки с отношением осей  $c/a=\sqrt{2}$ ) не попадают в полюсы аустенита, так как этот карбид формируется в повернутых относительно аустенита решетках  $\alpha$ -мартенсита.

Для проверки этих рассуждений проделали следующие построения.

Ориентации кубической решетки относительно решетки аустенита построили, предположив, что

взаимно параллельны те плоскости и направления в этих фазах, которые параллельны в о.п.т.-решетке и аустените. При этом индексы плоскостей типа (011)  $\alpha_{\rm M}^{\rm I}$  остаются такими же в о.ц.к.-решетке, а индексы направлений [111] $\alpha_{\rm M}^{\rm I}$  становятся иррациональными в о.ц.к.-решетке.

Аналогичное построение проделали для  $K_{\alpha_{\rm M}^{\rm I}}$  - и  $K_{\alpha_{\rm M}^{\rm II}}$  -карбидов. Их полюсные фигуры построили, заменив г.ц.к.-решетку тетрагональной с отношением осей  $c/a=\sqrt{2}$ .

Оказалось, что построенные полюсные фигуры хорошо совпали с экспериментальными. А именно, полюсная фигура для кубической решетки совпала с таковой отпущенных  $\alpha^{\text{I}}$  и  $\alpha^{\text{II}}$ -мартенситов ( $\kappa^{\text{I}}$  и  $\kappa^{\text{II}}$ ), а для тетрагональной с  $c/a = \sqrt{2}$ — с полюсами карбидов  $K_{\alpha_{\text{M}}}$  и  $K_{\alpha_{\text{M}}}$  . Полюсы последнего почти совпали с полюсами решетки аустенита потому, что ориентации

 $lpha^{\text{II}}$ -мартенсита мало отличаются от установленных Нишияма (рис. 2) (3). Это показывает, что установить различие между карбидными фазами  $K_{lpha}$ 

и  $K_{\nu}$  можно только по температурам их образования или каким-либо другим признакам, не связанным с ориентациями их решеток и их структурой.

Таким образом при отпуске сплава Fe—Al—C из мартенсита выделяется карбидная фаза с г.ц.к.-решеткой аналогично образованию нитрида Fe<sub>4</sub>N

в азотистой стали (6).

Из приведенных данных видно, что при увеличении и уменьшении c/a решетки мартенсита вследствие перераспределения концентрации углерода при отпуске о.ц.т.-решетка поворачивается так, что остается неизменной параллельность ее плоскостей и направлений (относительно решетки аустенита), которая была в исходной закаленной стали.

Этот факт можно истолковать так, что при завершении мартенситного превращения решетка мартенсита остается связанной с решеткой аустенита полукогерентной, дислокационной границей, которая сохраняется при

отпуске до температуры карбидообразования.

Институт металлофизики Академии наук УССР Киев Поступило 13 IX 1972

## цитированная литература

<sup>4</sup> F. R. Morral, J. Iron and Steel Inst., 28, 419 (1934). <sup>2</sup> Nishida Keizo, Bull. Fac. Eng. Hokkaido Univ., 48, 71 (1968) <sup>3</sup> Л. И. Лысак, А. Г. Драчинская, Н. А. Сторчак, ФММ, 33, в. 6, 1297 (1972). <sup>4</sup> Л. И. Лысак, Ю. М. Полищук, ФММ, 26, в. 6, 1002 (1968). <sup>5</sup> E. C. Bain, Trans. Am. Inst. Min. (Metall.) Eng., 70, 25 (1924). <sup>6</sup> K. H. Jack, Proc. Roy. Soc. A, 208, 216 (1951).